

关于 Lane-Emden-Fowler 微分方程的解析与数值求解办法

乐泽华[†][†] 中山大学 · 数学学院

该 Mathematica 项目完成于 2024 年 12 月 7 日

Abstract

Lane-Emden-Fowler 方程是一类二阶非线性微分方程，它在数学物理以及众多工程领域中有着广泛的应用，比如天体力学、流体力学、热力学等领域，可以用来描述诸如恒星的结构、热传导等现象。为了解该方程，数学家们使用了大量的解析手段，比如 Kummer-Liouville 变换、Lie symmetries 和 Painlevé analysis[2]，还有人利用分析力学 [3] 的方法来求解。与此同时，由于该微分方程没有一般意义上的精确解，数学家们还发展出了许多数值求解方法。更进一步，通过引入分数阶导数，time-fractional Emden-Fowler 方程 [5] 更适合天文学和数学物理中的一些问题，当然也更加复杂，当下的研究主要采用 Elzaki transform homotopy perturbation method (ET-HPM) 和 Laplace transform homotopy perturbation method (LH-HPM) 用于给出解析解，这一方法结合扰动技巧，可以得到求解这类方程的数值方法。在具体问题的求解上，Mathematica 的强大运算和画图能力起到了重要作用，包括解方程、画出解的图像等。不过，由于某些方程的求解计算量过大，导致 Mathematica 无法算出结果，我解决了其中一部分问题，但还有一部分计算问题无法解决。

Keywords: Mathematica, Lane-Emden-Fowler 方程, 数值分析, LH-HPM, 分数阶导数

Contents

1	写在前面	1
2	一道数列题——问题的开始	1
3	Lane-Emden 方程	2
4	Emden-Fowler 方程	2
5	Time-fractional Emden-Fowler 方程	3
5.1	LT-HPM 的一般求解过程	3
5.2	一个具体的 time-fractional Emden-Fowler 方程求解	4
6	用 Mathematica 求解分数阶微分方程	4
7	总结	5

阶偏微分方程 $D_\eta^\alpha \theta = D_\xi^2 \theta + L_1 D_\xi \theta + L_2 \theta = g(\xi, \eta)$ ，其中 $\alpha \in (1, 2]$ ，该分数阶导数的引入在于应用 homotopy perturbation method，我将利用 LT-HPM 求解一个具体的 time-fractional Emden-Fowler 方程，并用 Mathematica 绘制出解的 3D 图像。

2. 一道数列题——问题的开始

我对 Lane-Emden-Fowler 方程的研究是受到 [4] 中的练习 1.30 的启发。

Problem 2.1. 令 $\beta > 0$ ， $\{x_n\}_{n \geq 1}$ 是由如下递推关系定义的

$$x_1 = a > 0, \quad x_{n+1} = x_n + \frac{n^{2\beta}}{x_1 + x_2 + \cdots + x_n} \quad (1)$$

证明： $\lim_{n \rightarrow \infty} \frac{x_n}{n^\beta} = \sqrt{\frac{\beta+1}{\beta}}$ 。

该书 [4] 的作者宣称这是一个公开问题，我们先用 Mathematica 画图观察这个极限是否成立：

```
(* 参数定义 *) a = 1; (* 初始值 x1 *)
beta = 0.5; (* [Beta] 值 *)
nMax = 100; (* 最大求解的 n 值 *)

(* 递推关系 *)
x[n_] :=
  x[n] = If[n == 1, a,
    x[n - 1] + (n^(2*beta))/(Sum[x[k], {k, 1, n - 1}])]

(* 求解前 nMax 项 *)
result = Table[x[n], {n, 1, nMax}];

(* 数值逼近 x_n/n^beta *)
xOverNbeta = Table[result[[n]]/n^beta, {n, 1, nMax}];

(* 绘制渐近图像和常数线 *)
constant = Sqrt[(beta + 1)/beta]; (* 计算常数 *)

Show[ListPlot[xOverNbeta, (* 绘制 x_n/n^beta 和常数线 *)
  PlotRange -> All,
  PlotLabel -> "x_n / n^beta and Sqrt[(beta+1)/beta]"],
  PlotStyle -> {Blue, Red},
  PlotMarkers -> {"\[FilledCircle]", 2},
  PlotLegends -> {"x_n / n^beta", "Sqrt[(beta+1)/beta]"},
  AxesLabel -> {"n", "Value"}],
  ListLinePlot[Table[constant, {n, 1, nMax}], (* 绘制 x_n/n^beta 和常数线 *)
  PlotRange -> All,
```

1. 写在前面

研究 Lane-Emden-Fowler 方程的动因在于，我曾在 [4] 一书中看到一个数学分析中的数列问题，作者宣称这是一个公开问题。我当时没有很好的思路解决这个问题，便询问了中山大学理学院的廖同学，他花了几天的时间，询问了几位教授，最终出色地解决了这个问题。在本文的最开始，我也将放上他的证明思路。之后，理学院的杨同学提醒我，这道数列题可能跟二阶非线性微分方程 $\theta'' = \theta^{-1}$ 的求解有关，我当即查阅资料，发现这正是 Emden-Fowler 方程的一种特殊形式。然而，Emden-Fowler 方程 [1] 的研究过于复杂，而 Lane-Emden 方程的研究相对更加简单，历史也更加悠久，Emden-Fowler 方程就是它的推广形式。更进一步，time-fractional Emden-Fowler 方程使我很有兴趣，因为它利用到了 Mathematica 课上讲到的分数阶导数，而且求解过程中利用到了 Elzaki 变换和 Laplace 变换以及逆变换，于是我也在本次项目中进行了一些求解的尝试。于是我决定利用这次 Mathematica 项目的机会，进一步研究 Lane-Emden-Fowler 方程，也算是进行一次小小的数学科研尝试吧。在查阅了大量的论文和讲座资料之后，我节选了如下内容，并利用 Mathematica，求解其中的微分方程，并复现其中解的图像。

当然，本项目的行文逻辑遵循我自己的对 Lane-Emden-Fowler 方程的探索之旅，由简入繁。首先是 [4] 中的数列问题，它是 Lane-Emden-Fowler 方程的一种离散化形式，蕴含着该方程的数值求解思想。接着我将给出 Lane-Emden 方程 $\theta'' + \frac{2}{\xi\theta'} + \theta^n = 0$ ，初值条件为 $\theta(0) = 1, \theta'(0) = 0$ ，它是最早被研究的形式，可追溯到 19 世纪中叶，目前已经有 $n = 0, 1, 5$ 情况下的精确解，这点我也会利用 Mathematica 进行求解和验证，事实上，在 $n \geq 2$ 的时候，Mathematica 中使用 DSolve 函数就已经算不出来了，另一个困难是求解过程中发现，直接使用 NDSolve 函数也无法计算，这就需要用到一些数值技巧帮助计算。然后，我将研究一般的 Emden-Fowler 方程 $\frac{d}{d\xi} \left(\xi^\rho \frac{\theta}{\xi} \right) + b \xi^\sigma \theta^n = 0$ ，并进行数学推导，将其化简为 $\xi'' = \pm \xi^n$ 。最后我将研究 time-fractional Emden-Fowler 方程，它引入了一个分数阶导数，将整个方程转化为分数

```

27 PlotLabel -> "x_n / n^beta and Sqrt[(beta+1)/beta
28 ],",
29 PlotStyle -> {Blue},
30 PlotLegends -> {"x_n / n^beta", "Sqrt[(beta+1)/
31 beta]"},
32 AxesLabel -> {"n", "Value"}]]
33 (* 计算给定项的差值 *)
34 diff = Table[
35 Abs[xOverNbeta[[n]] - constant], {n, {50, 100,
36 150, 200}}];
37 (* 输出差值 *)
38 diff

```

Code 1. 求解数列极限

39 这里方便起见, 令 $a = 1, \beta = 0.5$, 观察前 100 项 $\frac{x_n}{n^\beta}$ 的趋势 (见图1),
40 该问题似乎是正确的, 这给了我们解决该问题的动力。

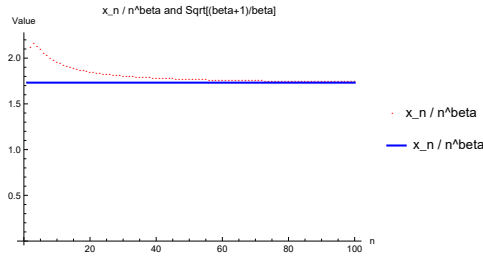


Figure 1. 求解数列极限

41 该问题的证明过长, 这里从略。接下来假设该问题是成立的。
42 我们注意到, 如果令 $s_n = \sum_{i=1}^n x_i$, 那么1变为

$$s_{n+1} - 2s_n + s_{n-1} = n^{2\beta} s_n^{-1} \quad (2)$$

43 二阶差分与二阶导数类似, 于是该数列问题就是二阶非线性微分方程

$$\theta'' = \xi^{2\beta} \theta^{-1} \quad (3)$$

44 问题的离散版本, 借助刚才解决的问题, 我们也就估计了该微分方程的解
45 的增长速率。事实上, 方程3就是一种特殊的 Lane-Emden-Fowler 方程。

46 3. Lane-Emden 方程

47 所谓的 Lane-Emden 方程如下

$$\frac{1}{\xi^2} \frac{d}{d\xi} \left(\xi^2 \frac{d\theta}{d\xi} \right) = -\theta^n, \quad \theta(0) = 1, \theta'(0) = 0 \quad (4)$$

48 化简得到

$$\theta'' + \frac{2}{\xi} \theta' + \theta^n = 0 \quad (5)$$

49 在数学上, 我们可以给出 $n = 0, 1, 5$ 时, 方程5的解:

- 50 • $n = 0, \theta'' + \frac{2}{\xi} \theta' + 1 = 0$, 解为 $\theta = -\frac{1}{6}\xi^2 - \frac{c_1}{\xi} + c_2$
- 51 • $n = 1, \theta'' + \frac{2}{\xi} \theta' + \theta = 0$, 解为 $\theta = \frac{c_1 \cos \xi + c_2 \sin \xi}{\xi}$

52 对于给定的初值条件 $\theta(0) = 1, \theta'(0) = 0$, 可以解得

- 53 • $n = 0 : \theta = 1 - \frac{\xi^2}{6}$
- 54 • $n = 1 : \theta = \frac{\sin \xi}{\xi}$
- 55 • $n = 5 : \theta = \frac{1}{\sqrt{1 + \frac{1}{3}\xi^2}}$

56 于此同时, 对于一般的 n , 数学上给出了 $0 \leq \xi < 1$ 时的级数解, 利用幂
57 级数展开法可以得到。

$$\theta = 1 - \frac{1}{6}\xi^2 + \frac{n}{120}\xi^4 - \dots, 0 \leq \xi < 1 \quad (6)$$

58 接下来, 我们利用 Mathematica 求解方程5在 $n = 0, 1, 2, 3, 4, 5$ 情况下的
59 解, 并画出解的图像。

```

1 LaneEmden[n_, {\[Theta]_, \[Xi]_}] := 1/\[Xi]^2 D
  \[Xi]^2 \[Theta]'[\[Xi]], \[Xi]] + \[Theta][\[
2 \[Xi]]^n;
3 (*n=0*)
4 DSolve[LaneEmden[0, {\[Theta], \[Xi]}] == 0, \[
  Theta][\[Xi]], \[Xi]]
5 (*n=1*)
6 DSolve[LaneEmden[1, {\[Theta], \[Xi]}] == 0, \[
  Theta][\[Xi]], \[Xi]]
7 DSolve[{LaneEmden[1, {\[Theta], \[Xi]}] == 0, \[
  Theta][0] == 1, \[Theta]'[0] == 0}, \[Theta][\[
  Xi]], \[Xi]] // Simplify

```

Code 2. 求解 Lane-Emden 方程

在计算的时候发现, 对于 $n = 2, 3, 4, 5$, 无法使用DSolve得
到精确解, 我转而考虑使用NDSolve求取数值解, 但是会报
错NDSolve::ndnum: 在 $x == 0.$ 处碰到一个导数的非数值量,
为了解决这个问题, 我引入了机器精度最小差\$MachineEpsilon3来解决
这个问题。

```

1 Block[{eps = $MachineEpsilon}, NDSolve[{x y[x] + 2
  y'[x] + x y''[x] == 0, y[eps] == 1, y'[eps] ==
  0}, y, {x, eps, 10}]]

```

Code 3. 利用机器精度最小差求解 Lane-Emden 方程

利用代码4, 我求得了 Lane-Emden 方程4在 $n = 2$ 时的数值解。

```

1 LaneEmdenSolution[n_] := Module[{x, y, eps =
  MachineEpsilon}, NDSolve[{x y[x]^n + 2 y'[x] +
  x y''[x] == 0, y[eps] == 1, y'[eps] == 0}, y, {
  x, eps, 15}][[1, 1, 2]]]

```

Code 4. Lane-Emden 方程在 n

利用机器精度最小差, 我们可以数值求解 $n = 0, 1, 2, 3, 4, 5$ 的 Lane-
Emden 方程4, 并绘制出解的图像。

```

1 soln = LaneEmdenSolution[#][x] & /@ Range[0, 5];
2 Plot[soln, {x, 0, 10}, Method->Evaluated->True,
  PlotStyle->{Black, Red, Yellow, Green, Blue, Purple},
  PlotRange->{-1, 1}, AxesLabel->{\[Xi], \[Theta]
  }[\[Xi]], PlotLabel->"Solution of the Lane-
  Emden Equation for n=0,1,2,3,4,5", PlotLegends
  ->{"n=0", "n=1", "n=2", "n=3", "n=4", "n=5"}]

```

Code 5. Lane-Emden 方程数值解

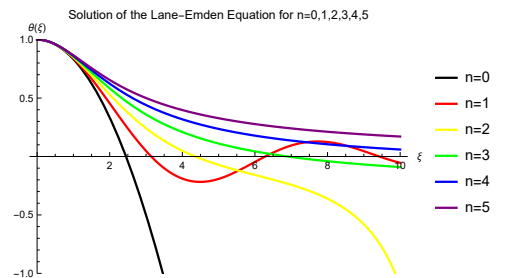


Figure 2. Lane-Emden 方程在 n=0,1,2,3,4,5 时的解的图像

4. Emden-Fowler 方程

所谓的 Emden-Fowler 方程如下 (其中 $\eta = \eta(\xi)$)

$$\frac{d}{d\xi} \left(\xi^2 \frac{d\eta}{d\xi} \right) = \alpha \xi^\lambda \eta^n \quad (7)$$

70 换元令

$$X = \frac{\xi \eta'}{\eta} \quad Y = \xi^{\lambda-1} \frac{\eta^n}{\eta'} \quad \xi = e^t$$

71 就得到二维自治系统

$$\dot{X} = -X(1 + X - \alpha Y) \quad (8)$$

$$\dot{Y} = Y(1 + \lambda + nX - \alpha Y) \quad (9)$$

72 这里 \dot{X}, \dot{Y} 表示对 t 求导。

73 接下来研究该系统8的稳定性, 对于给定的 $n = 2, \lambda = 0.5, \alpha = -1$, 画
74 出8的相图, 并标记出稳定点3。

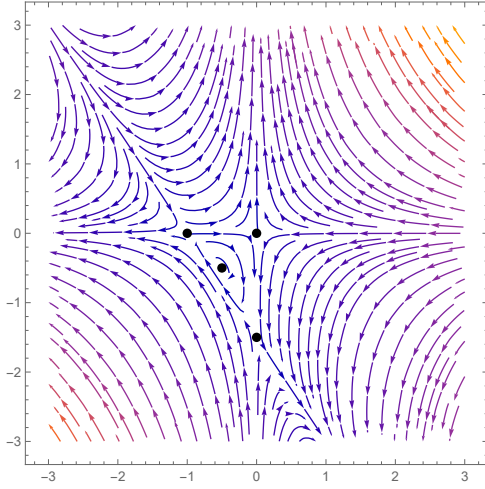


Figure 3. Emden-Fowler 自治系统的相图与稳定点

75 代码如下:

```
1 StreamPlot[{-X*(1+X+Y), Y*(1+0.5+2*X+Y)}, {X, -3, 3}, {Y, -3, 3},
2 StreamPoints->Fine, Epilog->Style[Point[{{-1, 0}, {0, 0}, {-0.5, -0.5}, {0, -1.5}}], Black, PointSize[Large]]]
```

Code 6. Emden-Fowler 自治系统的相图与稳定点

76 5. Time-fractional Emden-Fowler 方程

77 所谓的 time-fractional Emden-Fowler 方程具有如下形式

$$D_\eta^\alpha \theta = D_\xi^2 \theta + L_1 D_\xi \theta + L_2 \theta = g(\xi, \eta), \quad \alpha \in (1, 2] \quad (10)$$

78 其中 D_η^α 表示关于变量 η 求 α 阶导数。 α 阶导数定义如下

79 **Definition 5.1.** 在 Caputo 意义下的分数阶导数定义为

$$D^\alpha \vartheta(\eta) = \frac{1}{\Gamma(n-\alpha)} \int_0^\eta (\eta-\varepsilon)^{n-\alpha-1} \vartheta^n(\varepsilon) d\varepsilon, \quad n-1 < \alpha \leq n, n \in \mathbb{N}.$$

80 方程5的求解十分复杂, 它无法求出精确解, 但是人们发展出了 ET-HPM
81 和 LT-HPM[5] 等方法来给出数值解。考虑到我们更加熟悉 Laplace 变换
82 及其逆变换, 且这可以用 Mathematica 的函数实现, 我接下来将介绍 LT-
83 HPM 求解方程的一般方法。

84 5.1. LT-HPM 的一般求解过程

85 先给出一些定义

86 **Definition 5.2.** Laplace 变换定义为

$$\mathcal{L}[\vartheta(\eta)] = R_2(\sigma) = \int_0^\infty e^{-\eta\sigma} \vartheta(\eta) d\eta$$

Definition 5.3. 分数阶导数的 Laplace 变换定义为

$$\mathcal{L}[D_\eta^\alpha \vartheta(\eta)] = \sigma^\alpha R_2(\sigma) - \sum_{k=0}^{n-1} \sigma^{\alpha-1-k} \vartheta^k(0)$$

考虑如下的包含分数阶导数的非线性微分方程

$$D_\eta^\alpha \vartheta(\zeta, \eta) + N_1 \vartheta(\zeta, \eta) + N_2 \vartheta(\zeta, \eta) = g(\zeta, \eta) \quad (11)$$

约束条件为

$$\vartheta(0, \eta) = f(\eta)$$

这里 ϑ 是关于 η 的函数, N_1, N_2 分别是线性和非线性算子。对方程11作
用 Laplace 变换得到

$$\mathcal{L}[D_\eta^\alpha \vartheta(\zeta, \eta) + N_1 \vartheta(\zeta, \eta) + N_2 \vartheta(\zeta, \eta)] = \mathcal{L}[g(\zeta, \eta)].$$

展开得到

$$\sigma^\alpha R_2(\sigma) - \sigma^{\alpha-1} \vartheta(\zeta, 0) = \mathcal{L}[g(\zeta, \eta)] - \mathcal{L}[N_1 \vartheta(\zeta, \eta) + N_2 \vartheta(\zeta, \eta)]$$

于是得到

$$R_2(\sigma) = \frac{\vartheta(\zeta, 0)}{\sigma} + \frac{1}{\sigma^\alpha} \mathcal{L}[g(\zeta, \eta)] - \frac{1}{\sigma^\alpha} \mathcal{L}[N_1 \vartheta(\zeta, \eta) + N_2 \vartheta(\zeta, \eta)].$$

计算 Laplace 逆变换, 得到

$$\vartheta(\zeta, \eta) = G_2(\zeta, \eta) - \mathcal{L}^{-1} \left[\frac{1}{\sigma^\alpha} \mathcal{L}[N_1 \vartheta(\zeta, \eta) + N_2 \vartheta(\zeta, \eta)] \right] \quad (12)$$

其中 $G_2(\zeta, \eta) = \mathcal{L}^{-1} \left[\frac{\vartheta(\zeta, 0)}{\sigma} - \frac{1}{\sigma^\alpha} \mathcal{L}[g(\zeta, \eta)] \right]$ 接下来利用扰动技巧, 假设
方程11的通解为

$$\vartheta(\zeta, \eta) = \sum_{n=0}^{\infty} p^n \vartheta_n(\zeta, \eta) \quad (13)$$

其中 $p \in [0, 1]$ 是一个扰动元。将非线性算子 N_2 视为

$$N_2 \vartheta(\zeta, \eta) = \sum_{n=0}^{\infty} p^n H_n \vartheta(\zeta, \eta) \quad (14)$$

其中 $H_n(\zeta, \eta)$ 可以由如下计算给出

$$H_n(\zeta, \eta) = \frac{1}{n!} \frac{\partial^n}{\partial p^n} \left(N_2 \left(\sum_{n=0}^{\infty} p^n \vartheta_n \right) \right)_{p=0}, \quad n = 0, 1, 2, \dots$$

整合以上公式12,13和14得到

$$\sum_{n=0}^{\infty} p^n \vartheta_n(\zeta, \eta) = G_2(\zeta, \eta) - p \mathcal{L}^{-1} \left[\frac{1}{\sigma^\alpha} \mathcal{L} \left\{ N_1 \left(\sum_{n=0}^{\infty} p^n \vartheta_n(\zeta, \eta) \right) + \sum_{n=0}^{\infty} p^n H_n \vartheta_n(\zeta, \eta) \right\} \right] \quad (15)$$

从而我们得到了方程11的数值求解办法, 比较不同幂次的 p 前的系数, 我
们得到

$$\begin{aligned} p^0 : \vartheta_0(\zeta, \eta) &= G_2(\zeta, \eta), \\ p^1 : \vartheta_1(\zeta, \eta) &= -\mathcal{L}^{-1} \left[\frac{1}{\sigma^\alpha} \mathcal{L} \{ N_1 \vartheta_0(\zeta, \eta) + H_0(\vartheta) \} \right], \\ p^2 : \vartheta_2(\zeta, \eta) &= -\mathcal{L}^{-1} \left[\frac{1}{\sigma^\alpha} \mathcal{L} \{ N_1 \vartheta_1(\zeta, \eta) + H_1(\vartheta) \} \right], \\ p^3 : \vartheta_3(\zeta, \eta) &= -\mathcal{L}^{-1} \left[\frac{1}{\sigma^\alpha} \mathcal{L} \{ N_1 \vartheta_2(\zeta, \eta) + H_2(\vartheta) \} \right], \\ &\vdots \\ p^n : \vartheta_n(\zeta, \eta) &= -\mathcal{L}^{-1} \left[\frac{1}{\sigma^\alpha} \mathcal{L} \{ N_1 \vartheta_{n-1}(\zeta, \eta) + H_{n-1}(\vartheta) \} \right] \end{aligned}$$

最终, 解析解可以被表示为如下级数

$$\vartheta(\zeta, \eta) = \vartheta_0 + \vartheta_1 + \vartheta_2 + \cdots = \sum_{i=1}^{\infty} \vartheta_i(\zeta, \eta) \quad (16)$$

5.2. 一个具体的 time-fractional Emden-Fowler 方程求解

令 time-fractional Emden-Fowler 方程为

$$\frac{\partial^\alpha \vartheta}{\partial \eta^\alpha} = \frac{\partial^2 \vartheta}{\partial \zeta^2} + \frac{6}{\zeta} \frac{\partial \vartheta}{\partial \zeta} + (14\eta + \zeta^4) \vartheta + 4\eta \vartheta \ln(\vartheta), \quad 1 < \alpha \leq 2 \quad (17)$$

限制条件为

$$\vartheta(\zeta, 0) = 1, \quad \vartheta_\eta(\zeta, 0) = -\zeta^2 \quad (18)$$

接下来我们利用 LT-HPM 来数值求解该方程。

对方程17进行 Laplace 变换, 我们得到

$$\sigma^\alpha R_2(\sigma) - \sigma^{\alpha-1} \vartheta(\zeta, 0) = \mathcal{L} \left[\frac{\partial^2 \vartheta}{\partial \zeta^2} + \frac{6}{\zeta} \frac{\partial \vartheta}{\partial \zeta} + (14\eta + \zeta^4) \vartheta + 4\eta \vartheta \ln(\vartheta) \right]$$

化简后再进行 Laplace 逆变换得到

$$\vartheta(\zeta, \eta) = \frac{\vartheta(\zeta, 0)}{\sigma} + \mathcal{L}^{-1} \left[\frac{1}{\sigma^\alpha} \mathcal{L} \left\{ \frac{\partial^2 \vartheta}{\partial \zeta^2} + \frac{6}{\zeta} \frac{\partial \vartheta}{\partial \zeta} + (14\eta + \zeta^4) \vartheta + 4\eta \vartheta \ln(\vartheta) \right\} \right] \quad (19)$$

将 HPM 应用到方程19得到

$$\begin{aligned} \sum_{i=0}^{\infty} p^i \vartheta_i(\zeta, \eta) = & \vartheta(\zeta, 0) + \mathcal{L}^{-1} \left[\frac{1}{\sigma^\alpha} \mathcal{L} \left\{ \sum_{i=0}^{\infty} p^i \frac{\partial^2 \vartheta_i}{\partial \zeta^2} + \frac{6}{\zeta} \sum_{i=0}^{\infty} p^i \frac{\partial \vartheta_i}{\partial \zeta} + \right. \right. \\ & \left. \left. (14\eta + \zeta^4) \sum_{i=0}^{\infty} p^i \vartheta_i + 4\eta \sum_{i=0}^{\infty} p^i \vartheta_i \ln(\vartheta_i) \right\} \right] \end{aligned} \quad (20)$$

通过分析比较 p 的不同幂次前的系数, 得到

$$p^0 : \vartheta_0(\zeta, \eta) = \vartheta(\zeta, 0) = \vartheta(\zeta, 0) + \vartheta_\eta(\zeta, 0)$$

$$p^1 : \vartheta_1(\zeta, \eta) = \mathcal{L}^{-1} \left[\frac{1}{\sigma^\alpha} \mathcal{L} \left\{ \frac{\partial^2 \vartheta_0}{\partial \zeta^2} + \frac{6}{\zeta} \frac{\partial \vartheta_0}{\partial \zeta} + (14\eta + \zeta^4) \vartheta_0 + 4\eta \vartheta_0 \ln(\vartheta_0) \right\} \right]$$

$$\begin{aligned} p^2 : \vartheta_2(\zeta, \eta) = & \mathcal{L}^{-1} \left[\frac{1}{\sigma^\alpha} \mathcal{L} \left\{ \frac{\partial^2 \vartheta_1}{\partial \zeta^2} + \frac{6}{\zeta} \frac{\partial \vartheta_1}{\partial \zeta} + (14\eta + \zeta^4) \vartheta_1 + 4\eta \vartheta_1 \ln(\vartheta_1) \right. \right. \\ & \left. \left. + 4\eta \vartheta_1 \ln(\vartheta_0) \right\} \right] \\ & \vdots \end{aligned}$$

我们可以解得前几项 ϑ_i , 如下

$$\vartheta_0(\zeta, \eta) = 1 - \eta \zeta^2$$

$$\vartheta_1(\zeta, \eta) = -28\zeta^2 \frac{\eta^{\alpha+2}}{\Gamma(\alpha+3)} + \zeta^4 \frac{\eta^\alpha}{\Gamma(\alpha+1)} - \zeta^6 \frac{\eta^{\alpha+1}}{\Gamma(\alpha+2)}$$

$$\begin{aligned} \vartheta_2(\zeta, \eta) = & -392 \frac{\eta^{2\alpha+2}}{\Gamma(2\alpha+3)} + 36\zeta^2 \frac{\eta^{2\alpha}}{\Gamma(2\alpha+1)} - 66\zeta^4 \frac{\eta^{2\alpha+1}}{\Gamma(2\alpha+2)} \\ & + 392\zeta^2 \frac{\Gamma(\alpha+4)}{\Gamma(\alpha+3)} \frac{\eta^{2\alpha+3}}{\Gamma(2\alpha+4)} + 14\zeta^4 \frac{\Gamma(\alpha+2)}{\Gamma(\alpha+1)} \frac{\eta^{2\alpha+1}}{\Gamma(2\alpha+2)} \\ & - 14\zeta^6 \frac{\Gamma(\alpha+3)}{\Gamma(\alpha+2)} \frac{\eta^{2\alpha+2}}{\Gamma(2\alpha+3)} - 28\zeta^6 \frac{2\alpha+2}{\Gamma(2\alpha+3)} + \zeta^8 \frac{\eta^{2\alpha}}{\Gamma(2\alpha+1)} \\ & + \zeta^{10} \frac{2\alpha+1}{\Gamma(2\alpha+2)} \\ & \vdots \end{aligned}$$

于是解得

$$\vartheta(\zeta, \eta) = \vartheta_0(\zeta, \eta) + \vartheta_1(\zeta, \eta) + \vartheta_2(\zeta, \eta) + \cdots \quad (21)$$

此外, 当 $\alpha = 1$ 时, 方程17的精确解为

$$\vartheta(\zeta, \eta) = e^{-\eta \zeta^2} \quad (22)$$

使用 Mathematica 暂未解决的问题

然而, 我在 Mathematica 中, 尝试利用分数阶导数函数 CaputoD 求解方程17的时候, 发现求解速度太慢, 无法求出结果, 即使是在 $\alpha = 1$ 的情况下, 也无法解出偏微分方程

$$\frac{\partial \vartheta}{\partial \eta} = \frac{\partial^2 \vartheta}{\partial \zeta^2} + \frac{6}{\zeta} \frac{\partial \vartheta}{\partial \zeta} + (14\eta + \zeta^4) \vartheta + 4\eta \vartheta \ln(\vartheta), \quad \vartheta(\zeta, 0) = 1, \vartheta_\eta(\zeta, 0) = -\zeta^2$$

本来我打算复现 [5] 中的图4, 但是我没能用 Mathematica 画出来, 甚至我连这几个微分方程都没有求出来。但是在探索过程中, 我也发现了这篇论文 [5] 中存在的一些问题, 并在此次 Mathematica 项目中进行了公式推导的修正。

接下来我将放上几张图片 (来源: [5]), 其中图 (4a) 和图 (4b) 展示了 LT-HPM 求得通解在 $\alpha = 1$ 时候的图像。图 (4c) 展示了 $\alpha = 1$ 时, $\vartheta(\zeta, \eta)$ 关于 $0 \leq \zeta \leq 1$ 和 $0 \leq \eta \leq 1$ 的等高线图。图 (4d) 的绘制我也没有搞明白, 这是这篇 nature 论文 [5] 上的疏忽, 没想到如此文章也能发 nature, 打破了我对 nature 文章水平的幻想。

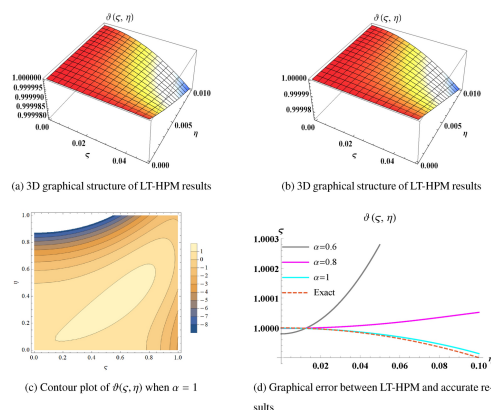


Figure 4. $\vartheta(\zeta, \eta)$ 的图像

6. 用 Mathematica 求解分数阶微分方程

虽然没能使用 Mathematica 求解 time-fractional Emden-Fowler 方程, 但是我可以 Mathematica 解决相对简单很多的分数 LC 电路方程问题, 分数 LC 电路微分方程指的是如下微分方程

$$D^\alpha i(t) + \frac{1}{L} i(t) = 0, \quad i(0) = 0.1, i'(0) = 0 \quad (23)$$

我们分别数值求解出 $\alpha = 2, 1.9, 1.8$ 时的解, 并绘制出图像5。

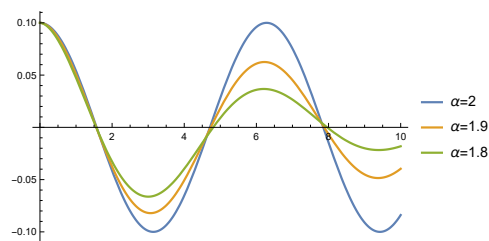


Figure 5. $\alpha = 2, 1.9, 1.8$ 的分数 LC 电路方程

对应的代码如下

```
1 LCeqn[\[Alpha]_, l_, c_] := {CaputoD[i[t], {t, \[Alpha]}] + 1/(l c) i[t] == 0, i[0] == 0.1, i'[0] == 0};
2 LCsol[\[Alpha]_, l_, c_] := DSolve[LCeqn[\[Alpha], l, c], i, t];
3 LCsol[2, l, c] (*求\[Alpha]=2时的经典解*)
4 LCsol[1.9, l, c] (*求\[Alpha]=1.9时的解*)
5 Plot[Evaluate[i[t] /. {LCsol[2, 1, 1], LCsol[1.9, 1, 1], LCsol[1.8, 1, 1]}], {t, 0, 10}, PlotLegends -> {"\[Alpha]=2", "\[Alpha]=1.9", "\[Alpha]=1.8"}]
```

Code 7. 求解分数 LC 电路方程

125 **7. 总结**

126 该 Mathematica 项目使用到了老师课上讲解的 DSolve、NDSolve、Plot
127 、StreamPlot 函数等, 求解 Lane-Emden-Fowler 方程, 并绘制出数值解
128 的图像。此外, 老师上课讲述的分数阶导数令我很感兴趣, 并思考求解分数阶
129 微分方程, 给出了 time-fractional Emden-Fowler 方程求解的尝试, 给出了
130 分数阶 LC 电路微分方程的实例。在完成该项目的过程中, 我遇到了许多困
131 难, 通过查阅 Mathematica 帮助文档和有关方程的论文 [2][5][1][3], 我解
132 决了一部分遇到的问题, 比如使用机器精度最小差 \$MachineEpsilon 代
133 替 0, 解决了方程在 0 处无定义, 以及某些参数趋于无穷的问题。美中不足
134 是, 由于二阶非线性微分方程的求解过于困难, 我并没能使用 Mathematica
135 成功求解出 time-fractional Emden-Fowler 方程17, 不过这个未解决的问
136 题也激起了我继续学习的动力。

137 除此之外, 这次 Mathematica 项目还带给我论文查找和阅读的经验。从
138 最开始的不确定写些什么, 到后来不够时间写下那么多东西。与此同时, 论
139 文的查找和阅读也给了我一些对科研工作的想象, 我也收获了不少关于解
140 决问题的思想和研究问题的思路。毫无疑问, 对此次 Mathematica 项目的
141 认真完成, 极大提升了我查找资料、解决问题、规划时间 (从确定主题到完
142 成项目我只用了 3 天时间)、承受压力的能力, 不论这个项目写的怎么样,
143 这些能力都是我从这次项目中收获到的宝贵财富。

144 ■ **致谢**

145 感谢中山大学理学院邵元智老师! 邵老师开设 Mathematica 课程, 让我获
146 益匪浅! 无论是课上知识的专业性, 还是老师对学生的关怀, 都令我十分感
147 动, 很感激、很幸运选上邵老师的 Mathematica 课程!

148 ■ **References**

149 [1] B. Mehta and R. Aris, “A note on a form of the emden-fowler equa-
150 tion”, *Journal of Mathematical Analysis and Application*, vol. 36,
151 no. 3, pp. 611–621, 1971.

152 [2] K. Govinder and P. G. Leach, “Integrability analysis of the emden-
153 fowler equation”, *Journal of Nonlinear Mathematical Physics*,
154 vol. 14, no. 3, pp. 443–461, 2007.

155 [3] 梅凤翔, 解加芳, and 江铁强, “求 emden-fowler 方程积分的分析力学
156 方法”, Ph.D. dissertation, 2007.

157 [4] A. Sîntămărian, O. Furdui, *et al.*, *Sharpening mathematical analy-
158 sis skills*. Springer, 2021.

159 [5] X. Luo, “Analytical solution of time-fractional emden-fowler equa-
160 tions arising in astronomy and mathematical physics”, *Scientific
161 Reports*, vol. 14, no. 1, p. 27 444, 2024.